

## 16. 地震群の一特性

### —大きい地震の大きさ分布に関する指標—

地震研究所 茅野一郎

(昭和 57 年 4 月 30 日受理)

#### §1. まえがき

地震の発生は、時間的にも、空間的にも、非一様性が強い。ある地域にある時期に集中して発生した地震を、他のものと区別し、その物理的関連は一先ずおいて、地震の群れ(松沢, 1950), 地震群(例えば宇津, 1977など)とよぶことがある。

地震群は、その発生様態によって、本震—余震型、前震一本震—余震型、群発地震型などと分類されることが多い(例えば宇津, 1977; MOGI, 1963)が、その区別ははっきりしたものではない。地震群中、特に目立って大きな地震のあるものを(前震)本震—余震型、特に目立って大きな地震のないものを群発地震型とする分類がふつう用いられているが、“特に目立って大きい”といってもはっきりした規準があるわけではない。最大地震と次に大きい地震とのちがいの分布は連続的であり、はっきりいくつかのジャンルに分けられるわけではない。

本論文は、一種の指標を導入して、形態学的に地震群の発生様態・型を特徴づけようとする試みの一部である。このような指標の導入によって地震群の定量的な特徴づけが可能になれば、それは地震群の本質的な異同を考える基礎ともなり、また、地震予知のための有効な手掛かりを与えるものと考える。

#### §2. 地震群のいろいろな型

最初に一つの例として、1964年12月—1965年2月の伊豆大島付近の地震活動を考えてみよう。Fig. 1 下は伊豆大島で観測された地震回数、Table 1 は気象庁によりこの地域に震央が決められた地震を示している。

この期間、伊豆大島付近の地震活動は全体としてかなり高く、全体を一つの地震群とみることもできるが、細かく見ると非常に活発な期間と静かな期間に分けることができ、震央分布にも多少の相異があって、いくつかの地震群に細分することができる。

地震回数の消長および主な地震の発生状況から、12月6~9日前後の活動(1)、12月24日~1月1日頃の活動(2)、2月20~21日前後の活動(4)を区別することができる。また、地震回数の点では目立たないが、1月5~6日にマグニチュード( $M$ )5.3が2回、と $M$ 4.3の地震が集中して発生しており、その前後にめぼしい地震がないことに着目して、1月5~6日の活動(3)として取上げ、4つの地震群を考えることにする。

ここに挙げた4つの活動期以外の期間には、気象庁によって震源が決定された地震はな

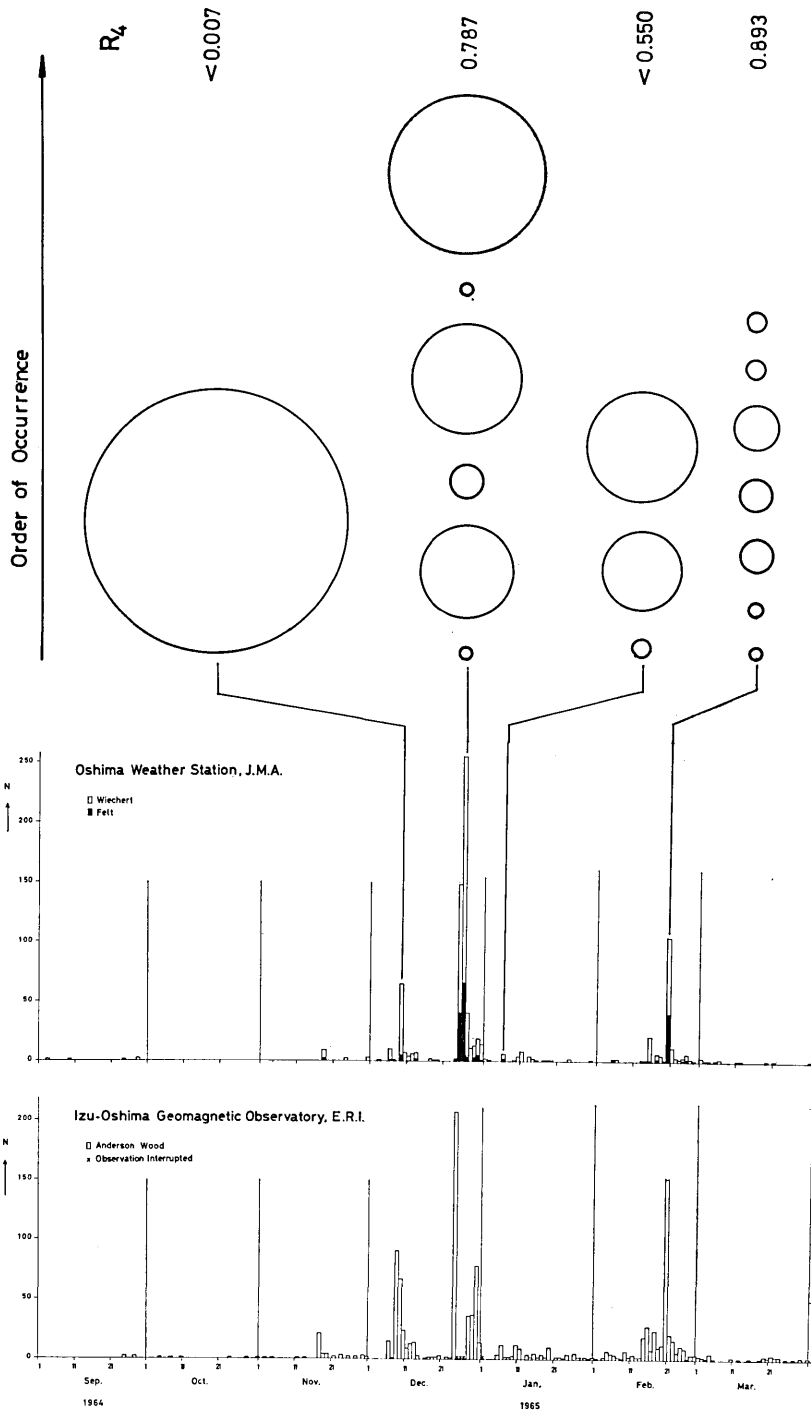


Fig. 1. Earthquakes that occurred near Izu-Oshima, Japan, from September, 1964 to March, 1965. In the lower part, the daily frequency of near earthquakes observed at Oshima Weather Station, J.M.A., and Izu-Oshima Geomagnetic Observatory, ERI (after Kaminuma, Kayano and Kubota, 1975).

In the upper part, circles of which areas are proportional to energy release are shown for earthquakes larger than magnitude 4 belonging to the four earthquake groups, in order of occurrence, respectively.

Table 1. Earthquakes that occurred near Izu-Oshima, 34°00'N-35°24'N, 138°40'E-139°24'E, from December 1, 1964 to February 28, 1965. (after JMA).

	Origin Time					Epicenter			<i>h</i>	<i>M</i>
	1964	12	6	h	m	s	Latitude	Longitude		
1	1964	12	6	13	16	51.2	34° 38'	139° 19'	20	3.4
			9	2	49	40.0	34 35	139 18	0	5.8
				4	07	45.9	34 41	139 13	0	3.1
				6	3	41.0	34 38	139 12	0	3.7
2		24	23	44	55.0		34 43	139 15	0	4.0
		25	4	54	51.2		34 40	139 15	0	5.2
			5	04	12.7		34 44	139 11	0	4.6
			5	42	46.4		34 43	139 14	0	3.9
		22	50	37.1			34 44	139 19	20	5.3
		23	08	57.1			34 19	139 05	20	
		26	0	18	50.9		34 49	139 16	0	3.1
			1	05	02.8		34 45	139 07	0	4.1
			1	39	00.6		34 48	139 17	0	3.0
			1	50	34.2		34 47	139 16	0	3.6
		2	01	26.7			34 40	139 17	0	5.5
			2	42	44.8		34 42	139 16	20	3.7
			8	36	44.7		34 51	139 18	0	3.2
		29	2	17	57.1		34 48	139 17	0	3.2
		30	2	10	11.3		34 39	139 12	0	3.7
			22	17	15.1		34 20	139 17	0	3.7
		31	5	54	49.7		34 42	139 11	20	3.3
	1965	1	1	6	14	23.0	34 29	139 18	20	3.9
3		5	4	39	48.9		34 19	139 16	0	4.3
		6	5	45	13.5		34 38	139 17	20	5.1
			5	46	05.0		34 41	139 31	20	5.3
4		20	10	54	53.4		34 52	139 14	20	4.1
		10	57	49.7			34 48	139 10	0	4.2
		11	14	27.8			34 35	139 06	20	4.6
		11	17	42.0			34 44	139 12	0	4.6
		11	18	57.4			34 29	139 00	20	4.8
		11	43	16.7			34 46	139 10	0	3.5
		12	23	42.3			34 47	139 10	0	4.3
		19	59	41.3			34 45	139 11	0	4.3
		21	54	10.7			34 46	139 13	0	3.2
		22	02	16.2			34 45	139 09	0	3.7
		21	2	66	53.2		34 52	139 16	0	3.4

いから、*M*3.5 程度以上の地震は起こっていないと考えられる。

これら4つの地震群は、非常に近い時期に、非常に近い(かなり重なり合っている)地域に発生したにもかかわらず、発生様態が著しく異っている。(1)の地震群は*M*5.8 の地震と、多数の*M*<4 の小地震から成っている。(2)の地震群は*M*5.5, 5.3, 5.2 および*M*4.6, 4.1, 4.0 とそれ以下の多数の小地震から成り、(3)の地震群は*M*5.3, 5.1 (1分間隔) および*M*4.3 の地震とごく小数の小地震から、(4)は*M*4.6~4.0 の地震8個と*M*<4 の多数の小地震から成っている。Fig. 1 の上部に、各群の*M*≥4 の地震について、面積がエネルギーに比例するような円を発生順に示したが、この4つの地震群の発生様態が著しく異なることは一目瞭然である。(1)は典型的な前震一本震一余震型、(4)は典型的な群発地震型であり、(2), (3)はその中間型で、敢えて名前をつけるなら(2)は三つ子型、(3)は双子型といってよいだろう。比喩的ないい方をすれば、(4)は典型的な俗にいう“どん

ぐりの背くらべ”であり、(2), (3), (1)と行くに従って独占傾向が強まって行くということができよう。

### §3. 地震の大きさ分布

地震の大きさと度数との間の関係については、一定の地域・期間に起こったマグニチュード  $M$  から  $M+dM$  までの地震の数を  $n(M)dM$ ,  $M$  以上の地震の数を  $N(M)$  とするとき、グーテンベルグ・リヒターの式 (GUTENBERG & RICHTER, 1944)

$$\log n(M) = a - bM$$

$$\log N(M) = A - bM$$

で表わされることがよく知られている。 $b$  の値は、地域、期間によって異なるが、この関係式そのものは広く成立つことが知られている。細かく見れば、 $M$  の範囲によって  $b$  の値が

異なるとか、もう一項加えた式の方がよりよく適合する (例えば UTSU, 1973) といった議論もあるが、グーテンベルグ・リヒターの式は地震学上の経験式としては、通常観測する範囲で広く実際の現象とよくあう方だといってよかろう。

一つの地震群が観測されると、“グーテンベルグ・リヒターの式に従っているものとして、最尤法 (宇津, 1964; AKI, 1965) で  $b$  値を求める”ことは、今日ルーチン的な手続きの一つになっているといってよい。

Fig. 2 の A~G は地震の大きさ分布のモデルである。C は規準となるもので

$$\log N(M) = 8.0 - 1.0M$$

に従う (端数切上げ、 $M$  は 0.1 刻み) モデルである。他のモデルは、モデル C の大きい地震 4 個の  $M$  を、 $b$  値を変えないように、変更したものであり、大きい方から 5 番目の地震 ( $M$  7.3) 以下の分布は全く同一である。図の右側に示した大きい地震 4 個のエネルギー (円の面積に比例) 分布からわかるように、地震群の性格は非常に違っていると考えられるが、グーテンベルグ・リヒターの式に従っているとして最尤法で  $b$  値を求めるとき、当然全て 1.00 が得られる。

つまり、 $b$  値は、Fig. 2 の A~G のモ

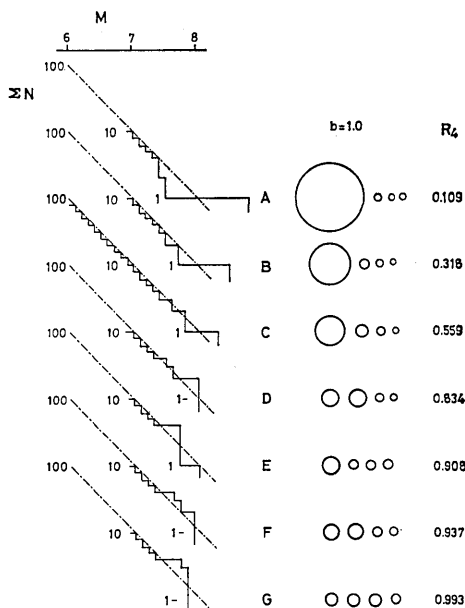


Fig. 2. Seven models of magnitude-frequency distribution. They all have the same value of  $b$ , the coefficient of Gutenberg-Richter formula, but a different value of relative entropy,  $R_4$ , for energy distribution of the four largest shocks. In the right part, the energy distribution of the four largest shocks in each sequence is shown by the circles of which areas are proportional to the energies of the shocks.

ルの違いを識別するのには全く無力だということがわかる。

さらに、実際問題として、地震群中  $M$  の求められている地震の数が少ないため、 $b$  値を十分な精度で求めることすらできない場合が少なくない（宇津、1968）。

最大地震よりある程度以上小さい地震については、グーテンベルグ-リヒターの式は一般にかなりよく合う、つまり地震の大きさ分布をかなりよく表わしていると考えてよいだろう。しかし、Fig. 2 の各モデルからうかがわれるよう、大きい幾つかの地震の度数分布のグーテンベルグ-リヒターの式からの外れが、たとえ統計的変動とみなせる範囲内であっても、実現した個々の地震群は時に著しく異なった性格・特徴を持っていると考えられる。

ふつう、大きな地震数個のエネルギーは、その地震群全体のエネルギーの大部分を占めているから、地震群に属する大きな地震の発生様式（大きさ分布——エネルギーの配分——や発生順序など）は、その地震群の性格・特徴を規定する上で大きな意味を持っていると考えられる。

この性格・特徴は、Fig. 2 に見るように  $b$  値では十分表現することができない。

そこで、この  $b$  値では表わすことのできない地震群の特性——大きい地震の大きさ分布に関する特性を、何らかの方法で定量的に表現したいと考える。

このような点に着目した研究はこれまでにもいくつか行われている。例えば、宇津は、最大地震のマグニチュードを  $M_1$ 、二番目、三番目に大きな地震のマグニチュードを  $M_2$ 、 $M_3$  とするとき、 $D_1 = M_1 - M_2$ 、 $D_2 = M_2 - M_3$  として、 $D_1$  の分布、 $M_1$  と  $D_1$  の関係（UTSU, 1961）、 $D_1$  と  $D_2$  の関係（UTSU, 1969）などを調べている。

MOGI (1963) は余震活動について  $D_1$  の地域分布などを調べ、地殻の破碎度との関連を論じている。また、EVISON (1981) は、日本付近の地震群について、本震型と群発地震型とで  $M_1 - M_3$  の値にはっきりした差があるという結果を出している。

さらに、UTSU (1978) は、 $M_1 - M_2$ 、 $M_1 - M_3$  の分布と、 $M_1$  と  $M_2$  の発生順から、群発地震と前震の判別がある確率で可能なことを述べている。YAMASHINA (1980) は、ある時点までに起こった最大地震のマグニチュードを  $M_1$ 、それより前及びそれより後の最大地震のマグニチュードをそれぞれ  $F_1$ 、 $A_1$  とするとき、 $M_1 - F_1$ 、 $M_1 - A_1$  の分布から、その時点より後で  $M_1$  より大きな地震の起こる可能性を確率的に予測し、地震活動の推移の予測に役立つことを述べている。

Table 1 の地震群 (2), (3), (4) はみな  $D_1 = 0.2$  であって、 $D_1$  のみではこれらの地震群の違いを表現することはできない。 $D_1$ 、 $D_2$ 、 $D_3$ 、…と増やして行けば表現できるかもしれないが、あまりパラメタを増やすと直観的に理解することも著しく困難になり実際的でない。 $M_1$ 、 $M_2$ 、 $M_3$ 、 $M_4$ 、…あるいは  $D_1$ 、 $D_2$ 、 $D_3$ 、…の分布の特徴を一つの数値で表現できるようなものはないだろうか。

#### § 4. 相対エントロピー ( $R$ )

いま、 $k$  個のカテゴリーがあって、それぞれに属する事象の度数を  $X_i$ 、合計を  $X = \sum X_i$ 、相対度数を  $p_i = X_i/X$  とし

$$H = - \sum_{i=1}^k p_i \log_2 p_i$$

という量を定義する。 $k$  が大きいほど  $H$  は大きい値をとり得るが、 $k$  個のカテゴリーの相対度数  $p_i$  が全て等しい場合 ( $k$  等分、すなわち完全な均等配分) に  $H$  は最大値  $\log_2 k$  をとる。反対にある一つのカテゴリー (どのカテゴリーかは問わない) に全ての事象が集中した場合 (すなわち完全な独占) に  $H$  は最小値 0 をとる。そこで、 $H$  をそのとりうる最大値で割った値

$$R = \frac{H}{\log_2 k}$$

は、0 と 1 の間の値をとり、散布度を示す一種の測度として用いることができる。

これは、もともと情報理論で考えられた量で、 $H$  は平均情報量、 $R$  は相対エントロピーと呼ばれるが、以下では単に  $R$  指数または  $R$  と呼んでおこう。

$R$  指数は、分配の均等性を表わす指標とみることができるから、いろいろの事象に適用できると考えられる。月別雨量をパラメタにすれば乾期・雨期のはっきり分かれた気候型、一年中雨の降る気候型を定量的に識別する指標として役立ち、陸地の高さや海底の深さ別面積分布、地震の空間分布の不均一性等々を表わす指標としても役立つであろう。また、心理学や社会事象の統計調査などにも用いられているようである (池田、1971)。

## §5. 地震群に対する $R$ 指数の適用

$R$  指数が分配の均等さを表わす指標という意味を持つことがわかったから、これを、地震群中の大きい地震の大きさ分布、即ちエネルギーの配分の状態を表わすために適用することを考える。

カテゴリーとして地震一つ一つを、パラメタとして地震のエネルギーをとることにする。すなわち、地震のエネルギーを大きい方から  $E_1, E_2, E_3, E_4, \dots$ 、その総和  $E = E_1 + E_2 + E_3 + E_4 + \dots$  とし  $p_i = E_i/E$  として  $R$  を計算することを考えよう。

ここに一つの問題がある。地震は小さいもの程多数発生する。たとえ一定の地域・期間に限っても、全ての地震を観測し、マグニチュード、エネルギーを決めるることは実際上不可能だから、地震の総数や全体のエネルギー分布を知ることはできないし、全地震を対象として  $R$  を求めることはできない。

全部の地震をとり上げることが不可能ならば、とり上げる地震数を変えた場合、求められる  $R$  の値がどうなるか調べておく必要がある。いうまでもなく、ここでは地震は大きい方から順次取り上げて行くので、問題は、地震を大きい方から何個とり上げたら、あるいは  $M$  が何程以上の地震をとり上げたら、 $R$  がどうなるかということになる。

Fig. 2 の各モデルについて、 $M_m$  以上の地震を全てとり上げて求めた  $R$  の値が Fig. 3 に示されている。 $M_m$  が小さくなるにつれて、とり上げた地震の総数  $\Sigma N$ 、つまりカテゴリー数は急速に大きくなる。それと共に  $R$  の値は小さくなるが、小さい方へ同じ分布をした地震を付け加えていっても  $R$  の大小が逆転することはない。なお、図の右端の点は各モ

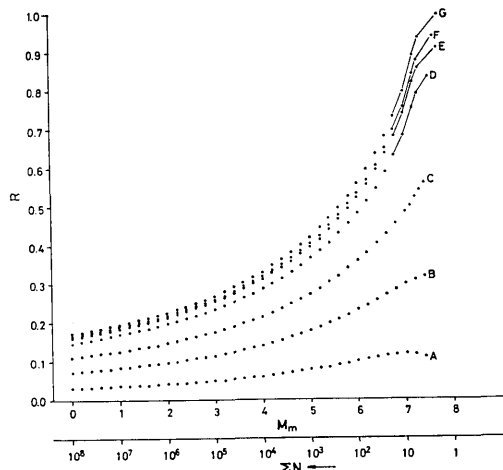


Fig. 3. Relative entropy,  $R$ , calculated for all earthquakes larger than magnitude  $M_m$  for the seven models in Fig. 2. The circle at the right end in each series indicates the relative entropy,  $R_4$ , for the four largest shocks.

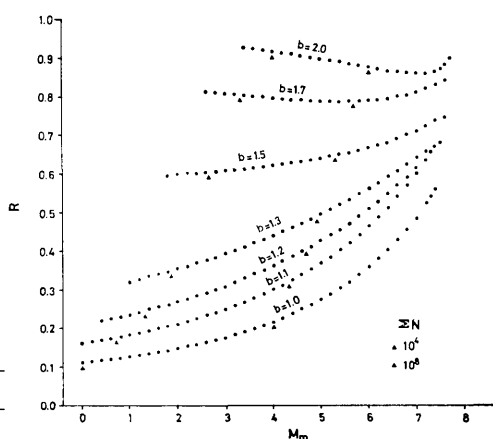


Fig. 4. Relative entropy,  $R$ , calculated for all earthquakes larger than magnitude  $M_m$  for groups distributed following to  $\log N(M) = b(0.8 - M)$  for seven values of  $b$ .  $\triangle$  and  $\blacktriangle$  show magnitude levels, above which the cumulative number of earthquakes is  $10^4$  and  $10^8$ , respectively. The circle at the right end in each series indicates the relative entropy,  $R_4$ , for the four largest shocks.

モデルについて大きい方から4個の地震をとり上げて求めた  $R$  の値を示している。

次に,  $b$  値による変化をみるために,

$$\log N(M) = b(8.0 - M)$$

( $M=8.0$  で  $N(M)=1$ , 端数切上げ,  $M$  の刻み 0.1) に従うモデルについて,  $M_m$  以上全ての地震について求めた  $R$  の値を示したのが Fig. 4 である。

$b$  値が大きくなる程, 小さい地震まで入れた時の  $R$  の小さくなり方が緩やかになり,  $b$  が或程度以上大きくなると,  $R$  が或  $M_m$  で最小値を示し, さらに小さい地震まで含めると  $R$  が再び大きくなり出す。これは,  $b$  が大きくなると, 小さい地震の数の増え方が極めて著しくなるので, 小さい方で“同じ大きさのものがたくさんあること”の寄与が大きくなるためであろうと考えられる。

大きい地震の大きさ分布と,  $b$  値とが共に異なるときは,  $M_m$  を小さくして行くと  $R$  の大小が逆転することがあるから, 一定の規準の下で比較する必要がある。

大きい地震の大きさ分布を表現するために  $R$  を使おうというここでの目的からは,  $b$  値の影響が混ざってくるのを避けるため,  $M_m$  をあまり小さくしない, つまりあまり多数の地震をとり上げない方がよい。

カテゴリーの数が本来有限であり, その全てをとり上げている場合は, カテゴリー数に

拘わらず直ちに  $R$  の値を比較してよい。しかし、地震一つ一つをカテゴリーとしてとった場合の様にカテゴリーとしてその全てをとり上げていない場合には、 $R$  の値はとり上げたカテゴリー数によって変わるから、カテゴリー数と同じにして求めた  $R$  の値同志を比較する必要がある。

地震群に適用する場合、カテゴリーとしていくつの地震をとり上げたらよいだろうか。一般に成立つ客観的・絶対的基準は見出し難いようである。目的や状況によって適当に選ぶほかはないだろう。

しかし、先にも述べたように、最大地震よりある程度以上小さい地震の大きさ分布はグーテンベルグ-リヒターの式でかなりよく表わせるものであるから、それは  $b$  値にまかせて、大きい地震幾つかの大きさ分布の特性を表わすことができれば十分であると考える。Fig. 2 の A~G のモデルについていえば、 $M \leq 7.3$  の分布は  $b$  値で十分よく表わされるから、 $M \geq 7.4$  の 4 個についてその大きさ分布が表現できれば十分であると考える。

以下、カテゴリー数  $k$ 、すなわちとり上げる地震の数を 4 とした場合を考えることにする。 $k$  を 4 とした理由は、第一に、地震群中の大きい地震の大きさ分布を表わすことが主眼であること、第二に、実際上手に入る——特に古い時代の——データを使おうとするとき、一つの地震群中マグニチュードの求められている地震が数個しかない場合が少なくないうが、4 個なら、多くの場合に  $R$  を求めることができること、第三に、 $k$  が 4 なら一々計算しなくとも表を作つておいてかんたんに  $R$  の値が求められること、などである。

	$R_4$
a	1 1 1 1 1.000
b	4 3 2 1 0.923
c	1.5 <sup>3</sup> 1.5 <sup>2</sup> 1.5 1 0.931
d	8 4 2 1 0.820
e	27 9 3 1 0.640
f	900 90 9 1 0.260 9.1

Fig. 5. Samples of  $R_4$  calculated for 4 categories.

カテゴリー数 4 の場合、 $R$  を求めるには

$$\begin{aligned}
 M_1 &\geq M_2 \geq M_3 \geq M_4 \\
 D_i &= M_i - M_{i+1} \quad (i=1, 2, 3) \\
 d_1 &= D_1 + D_2 + D_3 = M_1 - M_4 \\
 d_2 &= D_2 + D_3 = M_2 - M_4
 \end{aligned}$$

4 個のカテゴリーについて求めた  $R$  の値を  $R_4$  と書くことにしておこう。4 つのパラメタの分布と  $R_4$  の値とがどんな関係にあるかを例示したのが Fig. 5 である。a は 4 個のパラメタが全く等しい場合、b は初項=公差=1 の等差級数をなす場合、c~f は公比 1.5, 2, 3, 10 の等比級数をなす場合である。パラメタが地震のエネルギーであると考えた場合、c, d, e, f はそれぞれマグニチュード差  $D_1 = D_2 = D_3$  が 0.117, 0.200, 0.318, 0.666 の場合に相当している。

Fig. 1 の伊豆大島付近の地震群、および Fig. 2 の A~G のモデルについて求めた  $R_4$  の値が図中に記入してある。大きい地震の大きさ分布を表わす指標として使いたいということでの要求をほぼ満たしていることがわかる。

$$d_3 = D_3 - M_3 - M_4$$

として

$$A_i = 10^{1.5d_i}$$

$$A = A_1 + A_2 + A_3 + 1$$

$$R_4 = \frac{\log_{10} A}{0.602} - 2.49 \frac{A_1 d_1 + A_2 d_2 + A_3 d_3}{A}$$

に従って計算すればよい。

実際の地震群についてみると、 $D_1$  の範囲にくらべて  $D_2$ ,  $D_3$  の範囲は狭く、特に  $D_3$  は大部分 0.3 以下である。そこで Table 2 に  $0.0 \leq D_3 \leq 0.3$  の場合の、 $D_1$ ,  $D_2$ ,  $D_3$  の組み合わせについて計算した  $R_4$  の値を掲げた。多くの場合、これで間に合う。

$M$ 、従って  $D$  の誤差は 0.1 より小さくないと考えられるから、 $R$  の値も意味があるのは有効数字 2 桁程度と考えてよいだろう。

## § 6. 日本付近の地震群の $R$ 指数

1926 年以降、日本付近に発生した地震群について  $R_4$  の値を求めて、Table 3 に掲げた。データは特に注記をしたもの以外は気象庁 (1958) の「日本付近の主要地震の表」および地震月報によった。

時間・空間的に、集中していて、かつ周辺の地震活動と区別できるものを地震群として採り上げた。また、UTSU (1961), UTSU (1969), MOGI (1963), 植木 (群発地震研究会で配布された資料)などを参照している。最大地震のマグニチュード等で制限していないので、近年になるほど小さい地震群を含んでいる。

地震群の継続期間、特にその終期をどこにとったらよいかは甚だ判断に苦しむものである。Table 3 に挙げた期間は、本論文ではここまでとっているという意味であるが、期間を少し変えたために  $R_4$  の値が急に変わるというようなことはないように考慮してある。

$M$  の欄には、大きい方から 5 番目までの地震のマグニチュードが発生順に示してある。マグニチュードは原則として気象庁マグニチュード  $M_J$  である。ゴジックで示したのは最大の  $M$ 、イタリックスで示したのは  $R_4$  の計算に用いられなかった 5 番目以降の  $M$  である。

1931 年 11 月 2 日の日向灘の地震と、1945 年 3 月 12 日の福島県はるか沖の地震は、いわゆる津波地震で、気象庁マグニチュード  $M_J$  と、グーテンベルグ-リヒターのマグニチュード  $M_G$  が大きく異なるので、 $R_4$  としては  $M_G$  を用いた値を採用した。

1938 年 11 月の福島県沖の地震群のマグニチュードは、辻・阿部 (1976) によると 7.7, 7.8, 7.7, 7.1 であり、最近公表された気象庁 (1982) の「改訂日本付近の主要地震の表」によると 7.5, 7.3, 7.4, 6.9 であるが、 $R_4$  の値は 0.865, 0.875 となって表の値と実質的な差違は生じない。

1944 年東南海地震 ( $M 8.3$ ), 1946 年南海地震 ( $M 8.1$ ) は別の地震群としてとり上げてあるが、歴史時代にはこの両地域の地震が 1 日おいて発生し、あるいは、一つの地震として発生した場合もあるらしいことを考えると、一つの地震群と見なした方がよいかもしれない。

Table 2. Relative entropy for the four largest earthquakes,  $M_1, M_2, M_3, M_4$ .  $D_1 = M_1 - M_2$ ,  $D_2 = M_2 - M_3$ ,  $D_3 = M_3 - M_4$ .

$D_3 = 0.0$	$D_2 = 0.0$	$D_1 = 0.0$	$0.1$	$0.2$	$0.3$	$0.4$	$0.5$	$0.6$	$0.7$	$0.8$	$0.9$	$1.0$	$1.1$	$1.2$	$1.3$	$1.4$	$1.5$
$D_1 = 0.0$	1.0000	0.9894	0.9594	0.9148	0.8617	0.8061	0.7527	0.7043	0.6624	0.6274	0.5980	0.5760	0.5580	0.5440	0.5332	0.5249	
0.1	0.9910	0.9616	0.9291	0.8758	0.8195	0.7674	0.7281	0.6798	0.6355	0.6009	0.5553	0.5273	0.5179	0.5166	0.5153	0.5147	
0.2	0.9612	0.9242	0.8730	0.8228	0.7643	0.7153	0.6762	0.6278	0.5830	0.5487	0.5035	0.4743	0.4453	0.4253	0.4143	0.4043	
0.3	0.9083	0.8519	0.8013	0.7413	0.6943	0.6322	0.5815	0.530	0.5197	0.4554	0.4176	0.3762	0.3464	0.3195	0.2945	0.2795	
0.4	0.8334	0.7716	0.7109	0.6553	0.6476	0.6213	0.5942	0.5037	0.4205	0.4147	0.3981	0.3678	0.3597	0.3466	0.3365	0.3231	
0.5	0.7418	0.6707	0.6123	0.5542	0.5037	0.6113	0.4925	0.3981	0.3792	0.3473	0.3120	0.2891	0.2631	0.2376	0.2180	0.2059	
0.6	0.6059	0.5742	0.5133	0.4693	0.4157	0.3739	0.3359	0.3055	0.2815	0.2628	0.2494	0.2374	0.2289	0.2227	0.2145	0.2059	
0.7	0.5889	0.4755	0.4202	0.3739	0.3359	0.3055	0.2815	0.2502	0.2298	0.2098	0.1891	0.1739	0.1623	0.1515	0.1419	0.1381	
0.8	0.4423	0.3893	0.3374	0.2952	0.2669	0.2420	0.2227	0.1979	0.1766	0.1490	0.1291	0.1176	0.1072	0.1082	0.1067	0.1059	
0.9	0.3557	0.3066	0.2664	0.2342	0.2098	0.1891	0.1616	0.1411	0.1254	0.1186	0.1135	0.1099	0.1059	0.1032	0.1021	0.1012	
1.0	0.2813	0.2403	0.2075	0.1875	0.1690	0.1490	0.1299	0.1119	0.1028	0.0960	0.0970	0.0941	0.0930	0.0904	0.0896	0.0876	
1.1	0.2194	0.1861	0.1599	0.1396	0.1239	0.1085	0.0943	0.0851	0.0782	0.0730	0.0691	0.0662	0.0641	0.0625	0.0613	0.0604	
1.2	0.1692	0.1477	0.1222	0.1063	0.0927	0.0825	0.0713	0.0663	0.0581	0.0552	0.0513	0.0485	0.0453	0.0435	0.0413	0.0398	
1.3	0.1294	0.1086	0.0982	0.0851	0.0713	0.0643	0.0563	0.0491	0.0423	0.0363	0.0313	0.0274	0.0243	0.0213	0.0183	0.0153	
1.4	0.0982	0.0921	0.0699	0.0606	0.0536	0.0484	0.0444	0.0415	0.0393	0.0333	0.0295	0.0274	0.0267	0.0259	0.0256	0.0255	
1.5	0.0741	0.0618	0.0525	0.0465	0.0392	0.0359	0.0309	0.0262	0.0232	0.0220	0.0211	0.0205	0.0200	0.0196	0.0194	0.0190	
1.6	0.0556	0.0454	0.0359	0.0339	0.0309	0.0292	0.0268	0.0248	0.0232	0.0220	0.0211	0.0205	0.0200	0.0196	0.0192	0.0188	
1.7	0.0355	0.0299	0.0253	0.0223	0.0201	0.0180	0.0155	0.0137	0.0128	0.0122	0.0117	0.0113	0.0110	0.0108	0.0107	0.0106	
1.8	0.0310	0.0257	0.0217	0.0189	0.0166	0.0149	0.0137	0.0128	0.0122	0.0117	0.0113	0.0110	0.0109	0.0107	0.0106	0.0105	
1.9	0.0230	0.0191	0.0161	0.0139	0.0123	0.0111	0.0102	0.0095	0.0090	0.0087	0.0084	0.0082	0.0081	0.0079	0.0078	0.0076	
2.0	0.0171	0.0141	0.0119	0.0103	0.0093	0.0082	0.0075	0.0070	0.0067	0.0064	0.0062	0.0061	0.0060	0.0059	0.0058	0.0057	
2.1	0.0126	0.0104	0.0088	0.0076	0.0067	0.0060	0.0055	0.0050	0.0052	0.0050	0.0047	0.0046	0.0045	0.0044	0.0043	0.0043	
2.2	0.0093	0.0077	0.0065	0.0056	0.0046	0.0036	0.0036	0.0036	0.0036	0.0036	0.0035	0.0035	0.0035	0.0033	0.0033	0.0032	
2.3	0.0069	0.0057	0.0048	0.0041	0.0036	0.0033	0.0030	0.0028	0.0026	0.0026	0.0026	0.0025	0.0025	0.0024	0.0023	0.0022	
2.4	0.0057	0.0042	0.0035	0.0030	0.0027	0.0024	0.0024	0.0021	0.0021	0.0020	0.0019	0.0018	0.0018	0.0017	0.0017	0.0017	
2.5	0.0037	0.0030	0.0026	0.0022	0.0019	0.0018	0.0016	0.0015	0.0014	0.0014	0.0013	0.0013	0.0013	0.0013	0.0013	0.0013	

$D_3 = 0.1$	$D_2 = 0.0$	$D_1 = 0.0$	$0.1$	$0.2$	$0.3$	$0.4$	$0.5$	$0.6$	$0.7$	$0.8$	$0.9$	$1.0$	$1.1$	$1.2$	$1.3$	$1.4$	$1.5$
$D_1 = 0.1$	0.9929	0.9739	0.9373	0.8836	0.8314	0.7793	0.7288	0.6836	0.6397	0.600	0.5692	0.5374	0.5070	0.4760	0.4510	0.4291	
0.0	0.9785	0.9468	0.9042	0.8511	0.8051	0.7559	0.7142	0.6738	0.6318	0.6018	0.5682	0.5374	0.5086	0.4826	0.4530	0.4281	
0.1	0.9429	0.9008	0.8482	0.7554	0.7354	0.6838	0.6492	0.6096	0.5692	0.5441	0.5121	0.4838	0.4535	0.4226	0.3921	0.3613	
0.2	0.8429	0.7817	0.7222	0.6719	0.6354	0.5849	0.5400	0.4958	0.4638	0.4356	0.4055	0.3763	0.3464	0.3164	0.2864	0.2563	
0.3	0.8839	0.8307	0.7719	0.7131	0.6584	0.6100	0.5644	0.5130	0.4671	0.4313	0.3913	0.3513	0.3113	0.2713	0.2313	0.1913	
0.4	0.8041	0.7449	0.6811	0.6232	0.5717	0.5217	0.4821	0.4460	0.4018	0.3634	0.3218	0.2818	0.2418	0.2018	0.1618	0.1218	
0.5	0.7095	0.6469	0.5937	0.5233	0.4827	0.4322	0.3927	0.3522	0.3127	0.2727	0.2327	0.1923	0.1523	0.1123	0.0723	0.0323	
0.6	0.6092	0.5443	0.5973	0.4871	0.4382	0.3976	0.3476	0.3075	0.2678	0.2272	0.1874	0.1474	0.1074	0.0674	0.0274	0.0274	
0.7	0.5077	0.4443	0.5973	0.4825	0.4254	0.3514	0.2936	0.2432	0.1923	0.1519	0.1179	0.0770	0.0370	0.0274	0.0274	0.0274	
0.8	0.4141	0.3616	0.5179	0.4216	0.3504	0.2954	0.2434	0.1923	0.1519	0.1179	0.0770	0.0370	0.0274	0.0274	0.0274	0.0274	
0.9	0.3114	0.2866	0.2504	0.2023	0.1539	0.1402	0.1298	0.1122	0.1116	0.1083	0.1058	0.1038	0.1016	0.1004	0.1026	0.1032	
1.0	0.2609	0.2240	0.1949	0.1617	0.1179	0.1074	0.0994	0.0934	0.0889	0.0856	0.0831	0.0812	0.0798	0.0783	0.0771	0.0765	
1.1	0.2028	0.1731	0.1478	0.1317	0.1074	0.0933	0.0816	0.0756	0.0710	0.0677	0.0631	0.0619	0.0608	0.0601	0.0595	0.0581	
1.2	0.1560	0.1225	0.1163	0.1007	0.0937	0.0816	0.0759	0.0678	0.0617	0.0571	0.0537	0.0512	0.0493	0.0473	0.0455	0.0443	
1.3	0.1190	0.1007	0.0866	0.0759	0.0678	0.0617	0.0571	0.0510	0.0471	0.0432	0.0395	0.0355	0.0315	0.0274	0.0232	0.0232	
1.4	0.0902	0.0760	0.0653	0.0571	0.0510	0.0464	0.0430	0.0390	0.0349	0.0322	0.0283	0.0249	0.0216	0.0187	0.0156	0.0126	
1.5	0.0673	0.0511	0.0469	0.0390	0.0352	0.0319	0.0282	0.0250	0.0226	0.0205	0.0187	0.0161	0.0139	0.0117	0.0106	0.0105	
1.6	0.0509	0.0429	0.0376	0.0320	0.0285	0.0259	0.0226	0.0193	0.0179	0.0161	0.0155	0.0151	0.0148	0.0145	0.0143	0.0142	
1.7	0.0381	0.0319	0.0278	0.0238	0.0202	0.0177	0.0151	0.0143	0.0133	0.0125	0.0119	0.0115	0.0112	0.0108	0.0107	0.0105	
1.8	0.0283	0.0237	0.0196	0.0176	0.0150	0.0131	0.0117	0.0106	0.0098	0.0093	0.0085	0.0081	0.0079	0.0075	0.0071	0.0068	
1.9	0.0210	0.0176	0.0143	0.0116	0.0106	0.0098	0.0087	0.0078	0.0070	0.0067	0.0061	0.0056	0.0051	0.0049	0.0045	0.0043	
2.0	0.0155	0.0130	0.0111	0.0097	0.0086	0.0078	0.0073	0.0069	0.0065	0.0061	0.0057	0.0053	0.0050	0.0047	0.0044	0.0043	
2.1	0.0115	0.0097	0.0082	0.0071	0.0066	0.0061	0.0057	0.0051	0.0046	0.0041	0.0037	0.0033	0.0030	0.0027	0.0025	0.0023	
2.2	0.0085	0.0071	0.0060	0.0052	0.0047	0.0041	0.0036	0.0033	0.0030	0.0028	0.0022	0.0020	0.0019	0.0018	0.0017	0.0017	
2.3	0.0063	0.0052	0.0044	0.0039	0.0033	0.0029	0.0024	0.0020	0.0017	0.0014	0.0013	0.0013	0.0013	0.0013	0.0013	0.0013	
2.4	0.0046	0.0038	0.0030	0.0025	0.0021	0.0016	0.0012	0.0011	0.0010	0.0009	0.0008	0.0007	0.0006	0.0005	0.0004	0.0003	
2.5	0.0034	0.0028	0.0024	0.0021	0.0017	0.0014	0.0012	0.0011	0.0010	0.0009	0.0008	0.0007	0.0006	0.0005	0.0004	0.0003	



Table 3. Earthquake sequences that occurred in and near Japan from 1926 to 1978.

$M$ : Magnitudes of shocks larger than the sixth largest shock. The magnitudes of the largest and the fifth largest shocks are indicated by bold letters and italics, respectively.

$D_1 = M_1 - M_2$ ,  $D_2 = M_2 - M_3$ ,  $D_3 = M_3 - M_4$ ,  $D_{14} = M_1 - M_4$ .

$R_4$ : Relative entropy for the four largest shocks.

期	間	最大地震	地域	$M$	$D_1$				$D_2$				$D_3$				$D_{14}$				$R_4$				Remarks
					$D_1$	$D_2$	$D_3$	$D_{14}$	$D_1$	$D_2$	$D_3$	$D_{14}$	$D_1$	$D_2$	$D_3$	$D_{14}$	$D_1$	$D_2$	$D_3$	$D_{14}$	$D_1$	$D_2$	$D_3$	$D_{14}$	
1927	III 7~V13	III 7	“北丹後地震”	7.5, 6.0, 5.6, 5.6, 6.2	1.3	0.2	0.4	1.9	0.4	0.3	1.3	0.076													
1928	V21	V21	千葉県中部	5.8, 4.8, 4.5, 5.2	0.6	0.4	0.3	1.3	0.372																
1928	V27~VI 2	V27	三陸沖	7.0, 6.9, 6.0, 6.0, 6.9	0.1	0.0	0.9	1.0	0.882																
1930	II 21~V22	III 22	伊東静堯	5.4, 5.1, 5.8, 5.1, 5.2, 5.4	0.4	0.0	0.2	0.6	0.775																
1930	IX21~XII 4	XI26	“北伊豆地震”	4.6, 5.2, 7.0, 4.3	1.8	0.6	0.3	2.7	0.013																
1930	XI20~ 22	XI20	広島県北部	6.0, 5.0, 5.1, 5.7, 5.0	0.3	0.6	0.1	1.0	0.569																
1931	III 9~IV13	III 9	青森県東方沖	7.6, 5.1, 5.1, 6.0, 6.0	1.6	0.0	0.9	2.5	0.038																
1931	IX21~X 3	IX21	“西埼玉地震”	7.0, 4.7, 4.7, 4.7, 5.6, 5.6	1.4	0.0	0.9	2.3	0.068																
1931	XI 2	XI 2	日向灘	(6.3, 6.6, 6.2, 5.7, 5.2 6.5*, 7.5*, 6.2, 5.7, 5.2)	0.3	0.1	0.5	0.9	0.735)																
1931	X 3~'32 V	XI 4	岩手県中部	4.9, 6.1, 4.3, 4.8	1.0	0.3	0.5	1.8	0.150																
1932	XI26	XI26	浦河沖	6.8, 5.1, 5.2, 5.5	1.2	0.1	0.5	1.8	0.111																
1933	III 3~V27	III 3	“三陸沖地震”	8.3, 6.5, 6.5, 6.7, 6.4	1.3	0.3	0.1	1.7	0.076																
1934	II 17~ 22	II 22	茨城県沖	5.0, 5.2, 4.8, 5.3	0.1	0.2	0.2	0.5	0.878																
1935	X 13~ 19	X 13	三陸沖	7.2, 6.6, 6.4, 7.1, 6.5	0.1	0.5	0.1	0.7	0.742																
1938	V23~VII30	V23	茨城県沖	7.1, 5.5, 5.9, 5.9, 5.7	1.2	0.0	0.2	1.4	0.146																
1938	XI 5~XII 1	XI 5	福島県沖	7.7, 7.6, 7.5, 7.1, 7.0	1.0	0.1	0.4	0.6	0.875																
1939	V 1~ 3	V 1	“男鹿地震”	7.0, 6.7, 5.7, 5.5, 6.4	0.3	0.3	0.7	1.3	0.617																
1941	III 12~ 20	III 13, 19	三陸沖	6.0, 6.3, 6.5, 5.1, 6.3, 5.1	0.0	0.3	0.4	0.7	0.817																
1941	XI 14~XII 5	XI 19	日向灘	5.6, 5.2, 7.4, 4.7, 5.3	1.8	0.3	0.1	2.2	0.018																
1942	VIII22~ 25	VIII22	日向灘	6.2, 5.3, 5.1, 6.1	0.1	0.8	0.2	1.1	0.604																
1943	III 4~ 21	III 4	鳥取沖	6.1, 5.8, 6.1, 4.2, 5.8	0.0	0.2	0.0	0.2	0.915																
1943	III 12~ 20	III 14	茨城県沖	5.7, 6.1, 5.7, 6.0, 6.3	0.2	0.1	0.3	0.6	0.825																

(to be continued)

Table 3. (Continued)

期	間	最大地震	地域	M	D <sub>1</sub>	D <sub>2</sub>	D <sub>3</sub>	D <sub>4</sub>	R <sub>4</sub>	Remarks
1943	IV12～14	IV12	茨城県沖	6.6, 5.3, 6.4, 5.9, 5.8	0.2	0.5	0.1	0.8	0.684	
1943	VII3～18	VII3	三陸沖	7.1, 6.3, 6.5, 6.2, 6.1	0.6	0.2	0.1	0.9	0.487	
1943	VIII12～28	VIII12	“会津田島地震”	6.1, 5.2, 5.0, 5.2	0.9	0.0	0.2	1.1	0.312	
1943	IX10～X18	IX10	“鳥取地震”	7.4, 6.1, 5.7, 6.1, 5.7, 5.7	1.3	0.0	0.4	1.7	0.101	三河地震及その余震を含まない
1944	XII 7～45 III 9	XII 7	“東南海地震”	8.0, 6.5, 6.0, 6.7, 6.0	1.3	0.2	0.5	1.8	0.074	
1945	I 11～28	I 13	“三河地震”	6.0, 7.1, 5.9, 6.0, 6.4	1.7	0.4	0.0	1.1	0.336	
1945	III12		福島県はるか沖	(6.6, 5.2, 4.9, 5.6 7.2*, 5.2, 4.9, 5.6)	1.0	0.4	0.3	1.7	0.144	
1945	II10～III 8	II10	青森県東方沖	7.3, 6.1, 6.1, 6.5, 6.1	0.8	0.4	0.0	1.2	0.267	
1946	XII21～'48 XI30	XII21	“南海地震”	8.1, 6.2, 6.2, 7.2, 6.6, 6.2	0.9	0.6	0.4	1.9	0.158	
1948	III15～18	III15	茨城県沖	4.8, 6.1, 5.1, 4.9, 4.7	1.0	0.2	0.1	1.3	0.195	
1948	V12～29	V12	福島県沖	6.6, 6.3, 5.5, 5.3, 6.3	0.3	0.0	0.8	1.1	0.738	
1948	VII15～17	VII15	“日高川地震”	7.0, 4.9, 4.6, 4.9, 4.4	2.1	0.0	0.3	2.4	0.010	
1948	VII28～VIII14	VII28	“福井沖地震”	7.3, 5.8, 5.4, 5.4, 5.5	1.5	0.3	0.1	1.9	0.043	
1949	VIII10		京都府中部	4.5, 5.1, 4.7, 4.5	0.4	0.2	0.0	0.6	0.711	
1949	XII26～28	XII26	“今市地震”	6.4, 6.7, 4.9, 4.8, 5.9, 4.8, 4.8	0.3	0.5	1.0	1.8	0.535	
1952	III 2～XII31	III 4	“十勝沖地震”	8.1, 7.1, 6.5, 7.0, 6.8	1.0	0.1	0.6	1.7	0.188	
1952	III 7～V14	III 7	“大聖寺沖地震”	6.8, 5.3, 4.9, 5.1, 4.9	1.5	0.4	0.0	1.9	0.046	
1952	X 26～XI 1	X 27	三陸沖	6.5, 6.5, 6.4, 6.6, 6.4	0.1	0.0	0.1	0.2	0.979	
1953	XI 26～XII 31	XI 26	“房総沖地震”	7.5, 6.6, 6.6, 5.9, 6.2	0.9	0.0	0.4	1.3	0.284	
1955	VII30～V12	V 1	三陸沖	5.6, 5.9, 5.7, 5.6, 5.6	0.2	0.1	0.0	0.3	0.925	
1955	VII27～X26	VII27	徳島県南部	6.0, 4.5, 4.5, 5.3, 4.8, 4.7	0.7	0.5	0.1	1.3	0.294	
1957	VII12～18	VII12	青森県東方沖	6.1, 4.7, 4.2, 4.6, 4.5	1.4	0.1	0.1	1.6	0.076	
1958	IV 8～17	VI 8	宮城県沖	6.5, 6.2, 6.2, 6.1, 6.4	0.1	0.2	0.0	0.3	0.904	
1959	I 22～28	I 22	福島県はるか沖	6.8, 5.7, 4.8, 5.1, 5.3	1.1	0.4	0.2	1.7	0.191	
1959	I 22～IV 12	I 31	“第子屈地震”	5.7, 6.2, 6.1, 4.3, 5.0	0.1	0.4	0.7	1.2	0.698	

(to be continued)

Table 3. (Continued)

期　間	最大地震	地　域	M			D <sub>1</sub>	D <sub>2</sub>	D <sub>3</sub>	D <sub>14</sub>	R <sub>4</sub>	Remarks
			D <sub>1</sub>	D <sub>2</sub>	D <sub>3</sub>						
1960 III20～IV16	III21	三陸沖	7.5, 6.2, 6.7, 6.1, 6.2	0.8	0.5	0.0	1.3	0.242			
1960 VII30～VIII13	VII30	三陸沖	6.7, 4.3, 5.1, 4.9, 6.2	0.5	1.1	0.2	1.8	0.330			
1961 I 16～II21	I 16	茨城県沖	6.8, 6.4, 6.5, 6.1, 6.6	0.2	0.1	0.1	0.4	0.901			
1961 II27～III 1	II27	宮崎県沖	7.0, 5.2, 5.3, 4.7, 4.4	1.7	0.1	0.5	2.3	0.027			
1961 III14～ 26	III16, 18	“吉松地震”	4.6, 5.5, 5.5, 4.5	0.0	0.9	0.1	1.0	0.613			
1961 IV12～VII29	V 7	兵庫県西部	4.5, 4.5, 5.9, 5.2	0.7	0.7	0.0	1.4	0.263			
1961 VIII19～X20	VIII19	“北美灘地震”	7.0, 5.0, 4.6, 5.2, 4.6, 4.6	1.8	0.2	0.4	2.4	0.018			
1962 IV30～VII19	IV30	宮城県北部	6.5, 4.7, 4.6, 4.8, 4.6	1.7	0.1	0.1	1.9	0.032			
1962 V 5～X27	VII26	三宅島近海	5.8, 5.9, 5.4, 5.8, 5.3	0.1	0.0	0.4	0.5	0.909			
1963 III27～V18	III27	“越前岬沖地震”	6.9, 4.8, 5.2, 5.3, 5.2	1.6	0.1	0.0	1.7	0.046			
1964 V 7～ 24	V 7	“男鹿半島沖地震”	6.9, 5.2, 4.8, 6.5, 4.9, 4.8, 4.8	0.4	1.3	0.3	2.0	0.377			
1964 XII11～ 29	XII11	男鹿半島沖	6.3, 5.3, 4.2, 4.6, 5.0	1.0	0.3	0.7	2.0	0.154			
1964 VII16～VIII 2	VII16	“新潟地震”	7.5, 6.1, 6.1, 6.1, 6.0	1.4	0.0	0.0	1.4	0.098			
1965 IX17～ 27	IX18	茨城県沖	5.5, 5.6, 5.5, 5.7, 6.7, 6.2	0.5	0.5	0.1	1.1	0.444			
1965 XI 6～ 7	IX 6	神津島付近	5.2, 4.8, 4.6, 4.7, 5.6	0.4	0.4	0.1	0.9	0.572			
1965 VIII～VII0		“松代地震”	5.4, 5.3, 5.3, 5.3, 5.4, 5.3, 5.3	0.0	0.1	0.0	0.1	0.989			
1967 XI 4～ 5	XI 4	弟子屈付近	6.5, 5.7, 3.5, 4.4	0.8	1.3	0.9	3.0	0.167			
1968 II21～X31	II21	“えびの地震”	5.7, 6.1, 5.6, 5.7, 5.4	0.4	0.0	0.1	0.5	0.804			
1968 IV 1～ 3	IV 1	日向灘	7.5, 4.6, 6.3, 4.7, 4.3	1.2	1.6	0.1	2.9	0.059			
1968 V16～XII30	V16	“十勝沖地震”	7.9, 6.3, 7.5, 6.3, 6.4	0.4	1.1	0.1	1.6	0.395			
1968 VII12～XII18	VII12	岩手県沖	7.2, 6.1, 5.8, 5.8, 6.4, 5.8	0.8	0.3	0.3	1.4	0.261			
1968 VII 1～ 4	VII 1	埼玉県中部	6.1, 4.0, 3.3, 4.1	2.0	0.1	0.7	2.8	0.010			
1968 VIII 6～ 11	VIII 6	宇和島付近	6.6, 4.8, 4.9, 5.3, 4.3	1.3	0.4	0.4	2.1	0.068			
1968 VIII18～X 6	VIII18	京都府北部	5.6, 5.2, 4.5, 4.3, 4.6, 4.8	0.4	0.6	0.1	1.1	0.491			
1969 IX 9～IX23	IX 9	岐阜県中部	6.6, 4.6, 4.9, 4.8, 4.6, 4.8	1.7	0.1	0.0	1.8	0.035			
1969 VIII12～IX27	VIII12	北海道東方沖	7.8, 5.6, 6.2, 5.6, 5.9, 5.6, 5.7	1.6	0.3	0.2	2.1	0.030			

(to be continued)

Table 3. (Continued)

期 間	最大地震	地 域	M	D <sub>1</sub>				D <sub>2</sub>				D <sub>3</sub>				D <sub>4</sub>				Remarks		
				D <sub>14</sub>	R <sub>4</sub>	D <sub>1</sub>	D <sub>2</sub>	D <sub>3</sub>	D <sub>4</sub>	D <sub>14</sub>	R <sub>4</sub>	D <sub>1</sub>	D <sub>2</sub>	D <sub>3</sub>	D <sub>4</sub>	D <sub>14</sub>	R <sub>4</sub>	D <sub>1</sub>	D <sub>2</sub>	D <sub>3</sub>	D <sub>4</sub>	
1970 I 21～II 28	I 21	北海道南部 日向灘	6.7, 4.5, 4.8, 4.5	1.9	0.3	0.0	2.2	0.014														
1970 VII 26～VIII 1	VII 26	熊本付近	6.7, 4.7, 4.8, 6.1	0.6	1.3	0.1	2.0	0.266														
1970 VIII 9	VIII 9	秋田県東部 長崎県南岸(橘湾)	4.5, 4.1, 3.7, 3.8	0.4	0.0	0.3	0.7	0.747														
1970 X 16～XII 27	X 16	伊豆大島付近	6.2, 4.0, 4.0, 4.0	1.3	0.9	0.0	2.2	0.050														
1971 II 15～ 20	II 15	八丈島近海	4.2, 4.2, 4.6, 4.1, 4.1	0.4	0.0	0.1	0.5	0.804														
1972 I 14	I 14	八丈島近海	3.8, 3.4, 3.8, 3.2	0.0	0.4	0.2	0.6	0.809														
1972 II 29～III 23	II 29	“伊豆半島沖地震”	7.1, 5.6, 5.5, 5.7, 5.5	1.4	0.1	0.1	1.6	0.076														
1972 XII 4～'73 II 26	XII 4	八丈島近海	7.2, 5.3, 5.5, 5.2	1.7	0.2	0.0	1.9	0.029														
1973 VII 17～VIII 11	VII 17	根室半島沖	7.4, 6.1, 7.1, 6.1, 6.2	0.3	0.6	0.3	1.2	0.542														
1973 IX 5～ 26	IX 5	福島県沖	6.1, 4.9, 6.0, 5.3, 4.9	0.1	0.7	0.4	1.2	0.614														
1974 V 9～ 25	V 9	伊豆半島沖地震	6.9, 4.2, 3.9, 4.3, 3.9	2.4	0.2	0.1	2.7	0.003 <sub>3</sub>														
1974 VI 24～VII 21	VII 9	伊豆半島中部	3.4, 4.9, 4.0, 3.8	0.9	0.2	0.4	1.5	0.221														
1974 V 2～ 5	V 3	千葉県東方沖	4.9, 4.7, 5.1, 5.2, 4.7	0.1	0.2	0.2	0.5	0.878														
1975 I 22～ 31	I 23	“阿蘇群発地震”	5.5, 6.1, 4.9, 5.1, 5.0	0.6	0.4	0.1	1.1	0.398														
1975 IV 21～V 1	IV 21	大分県中部	6.4, 4.1, 4.2, 4.2, 4.1	2.2	0.0	0.1	2.1	0.008 <sub>5</sub>														
1975 VII 10～VII 20	VII 20	北海道東方沖	7.0, 6.0, 6.5, 6.0, 6.0	0.5	0.3	0.2	1.0	0.612														
1975 IX 25～X 15	XI 25	奄美大島近海	5.3, 5.1, 4.9, 5.0, 5.1	0.2	0.0	0.1	0.3	0.943														
1976 I 21～ 31	I 21	北海道東方沖	6.5, 6.0, 5.9, 5.7, 5.8	0.5	0.1	0.1	0.7	0.645														
1976 III 30～IV 19	IV 19	三陸沖	5.5, 5.5, 5.3, 5.2, 5.6	0.1	0.0	0.2	0.3	0.058														
1976 VI 4～ 10	VI 4	宮城県沖	5.8, 4.5, 3.9, 3.9, 3.7	1.3	0.6	0.0	1.9	0.059														
1976 VI 16～VII 28	VII 16	山梨県東部 陸奥湾(勝野沢付近)	4.7, 5.5, 3.5, 4.2, 4.3	0.8	0.4	0.1	1.3	0.254														
1976 XI 7～XII 28	XI 28	熊本付近	4.0, 3.8, 4.6, 4.9, 3.3	0.3	0.6	0.2	1.1	0.554														
1977 III 3～VII 16	VII 18	島根県中部	4.2, 4.1, 4.1, 5.2, 4.1	1.0	0.1	0.0	1.2	0.240														
1977 V 2～ 4	V 2	三陸沖	5.3, 3.0, 3.6, 2.7, 3.8	1.5	0.2	0.6	2.1	0.041														
1977 X 19～'78 I 19	XI 24	“伊豆大島近海地震”	5.2, 5.9, 5.3, 5.5, 5.1	0.4	0.2	0.1	0.7	0.681														
1978 I 14～ 26	I 14	“伊豆大島近海地震”	4.9, 7.0, 5.1, 4.9, 5.4	1.2	0.4	0.3	1.9	0.084														

(to be continued)

Table 3. (Continued)

期	間	最大地震	地域	M				$D_1$	$D_2$	$D_3$	$D_{14}$	$R_4$	Remarks	
				$D_{10}$	$D_{10}$	$D_{10}$	$D_{10}$							
1978	II 20~IV 17	IV 7	宮城県沖 千葉県沖	6.7	4.9	4.7	4.8	5.0	1.7	0.1	0.1	1.9	0.032	
1978	IV 6~ 18	V 16	青森県東岸	4.7	4.8	4.6	5.1	6.1	1.0	0.3	0.1	1.4	0.172	
1978	V 16~ 17	VI 4	鳥取県中部	5.8	5.8	3.9	4.0	3.5	0.0	1.8	0.1	1.9	0.510	
1978	VI 4~ 9	VI 12~ 30	宮城県沖	6.1	4.4	5.2	5.5	5.3	0.6	0.2	0.1	0.9	0.487	
1978	VI 12~ 27	VII 3	茨城県沖 青森・岩手県境	5.8	7.4	5.7	6.3	5.4	1.1	0.5	0.1	1.7	0.107	
1978	VII 1~ 10			4.3	4.7	4.5	4.4	5.1	0.4	0.2	0.1	0.7	0.681	
				4.0	3.9	4.1	2.8		0.1	0.1	1.1	1.2	0.784	
1977	VIII ~		有珠	4.3, 4.3, 4.3, 4.3, 4.3, 4.3, ...				0.0	0.0	0.0	0.0	1.000	岡田ら(1979)	

ない。そうすると  $M_2 8.1$ ,  $R_4 = 0.529$  となり、いわば双子型になる。

Table 3 の地震群中  $R_4$  の最も大きな地震群は松代地震で 0.989 である。

Table 3 には直接火山噴火に関する地震を含まないが、参考として、末尾に 1977 年有珠火山の噴火に伴う地震群を掲げた。この地震群はグーテンベルグ-リヒターの式に従わない特異なマグニチュード分布をしていることが指摘されている（岡田ら、1979）。彼らによると最大の地震は  $M 4.3$  であるが、同規模の地震が 1979 年 8 月迄の 2 年間に 18 回も起こっている。従って  $R_4$  は 1.00 になる。

ここに得られた  $R_4$  の分布は Fig. 6 に示す通りである。 $R_4 < 0.1$  の場合が全体の約 1/3 を占めている。 $0.4 \leq R_4 < 0.5$  に弱い谷が見られる。

Fig. 7 には  $D_1 = M_1 - M_2$  の分布を示した。ここでは、少なくとも  $M_4$  まで検知されている地震群だけを取り上げていて、例えば UTSU (1969) に挙げられているものより  $D_1$  の大きな場合は少なくなっている。

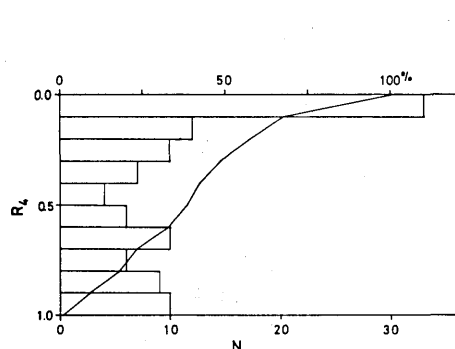


Fig. 6. Frequency distribution of  $R_4$ .

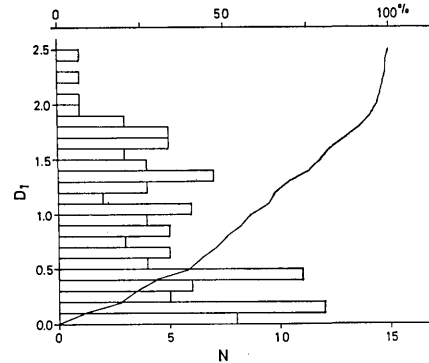


Fig. 7. Frequency distribution of  $D_1 = M_1 - M_2$ .

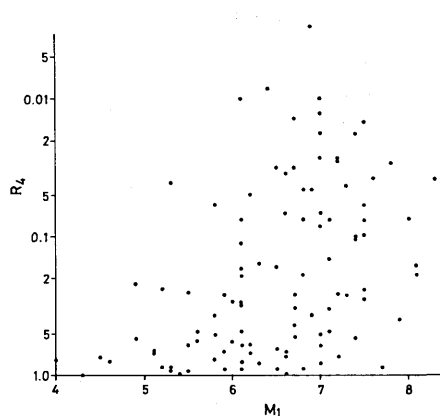


Fig. 8. Relation between  $R_4$  and  $M_1$ .

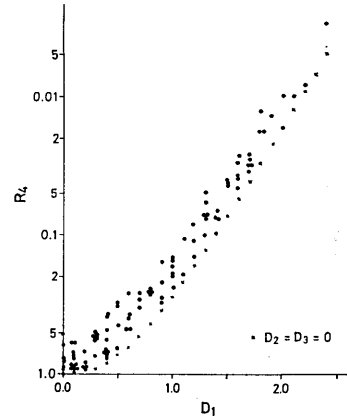


Fig. 9. Relation between  $R_4$  and  $D_1$ .

Fig. 8 は  $M_1$  と  $R_4$  の関係を示している。目立った相関は見られない。 $M_1$  の小さいところで  $R_4$  の小さい例がないのは、存在しないわけではなく、 $M_4$ ,  $M_3$  さらには  $M_2$  が検知限界を下まわることが多くなるためと考えられる。

Fig. 9 は  $D_1$  と  $R_4$  の関係を示したものである。×印は  $D_2=D_3=0$ , つまり  $M_2=M_3=M_4$  の場合で、他のいかなる  $M_2$ ,  $M_3$ ,  $M_4$  の組合せでも、これより大きな  $R_4$  は存在し得ない。例えば  $D_1 \geq 1.4$  なら  $R_4 < 0.1$  である（逆はない）。

Fig. 10 には EVISON (1981) のとり上げた  $M_1-M_3$  と  $R_4$  の関係を示した。図の右寄に分

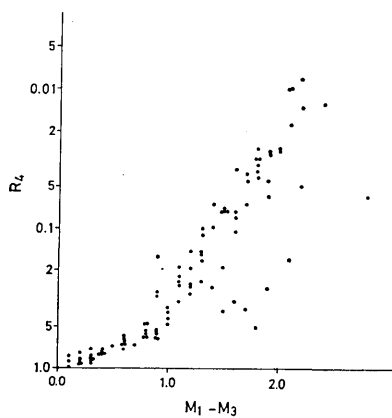


Fig. 10. Relation between  $R_4$  and  $M_1-M_3$ .

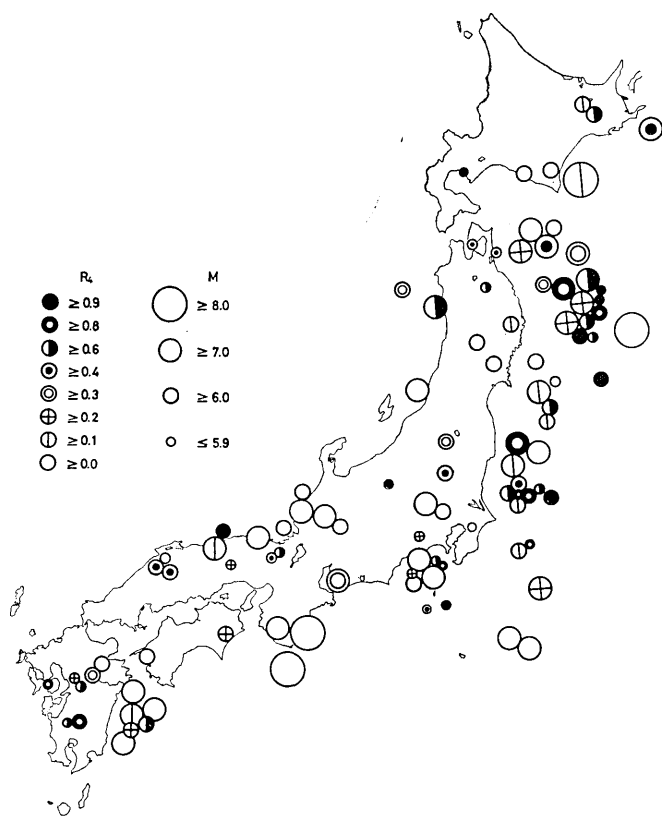


Fig. 11. Geographical distribution of  $R_4$ . The symbols were indicated in the places of the largest shocks, but in some cases they are displaced slightly so as not to overlap.

布する点は  $D_1 < D_2$ , つまり双子型にあたる。

Table 3 の地震群の  $R_4$  の地理的分布を示したものが Fig. 11 である。

岩手県沖、茨城・福島県沖、九州南西部に  $R_4$  の大きい地震が多い。特に、岩手県沖では最大地震のマグニチュード  $M_1$  がかなり大きくて、かつ  $R_4$  の大きな地震が多い。

北陸地方は  $R_4$  の小さい地震群が集中している。

日向灘、伊豆半島・伊豆七島では  $R_4$  の大きいもの、小さいものが入り混っているが、 $M_1$  の小さいものの  $R_4$  が大きい傾向が見える。

$M_1-M_2$  の分布 (MOGI, 1963) や、 $M_1-M_3$  に基いて分類した mainshock event, earthquake swarm, multiplet の分布 (EVISON, 1981) などと、大勢としては共通の傾向を示すが、Fig. 9 や Fig. 10 からわかるように、より詳しい地震群の性格の違いの分布を表わしている。

## §7. ま と め

地震群の性格・特徴を規定する上で大きな意味を持っていると考えられる地震群中の大きな地震の発生様式——大きさ分布、すなわちエネルギー配分、発生順序等々の中で、大きな地震の大きさ分布を定量的に示す指標として、相対エントロピー  $R$  が有効であることがわかった。

地震の大きさ分布を特徴づけるものとしては、グーテンベルグ-リヒターの式の係数  $b$  が広く用いられているが、 $R$  は  $b$  とは相補的な意味をもっている。

二、三の問題点についてかんたんに触れておこう。

$D_1, D_2, D_3, \dots$  の多次元分布を  $R$  という一つの量で表わしているのだから、同じ  $R$  の値を与える地震の相対的大きさ分布は一義的には決まらない。同じ  $R$  の値を与える地震の大きさ分布がどういう関係にあるか、換言すればどういう点で同等であるかということは  $R$  の物理的意味が明かになれば理解されよう。今後の検討課題である。

また、ここでは地震群中の大きい地震の大きさ分布のみを考えたが、それがどういう順序で起こるかということも地震群の性格を考える上で基本的なことである。次の機会にこの点も検討したい。

## 謝 辞

この研究に関して、議論をして下さった大竹政和博士、原稿を読んで注意をして下さった山科健一郎博士、神沼克伊博士に厚く御礼申し上げます。

## 文 献

- AKI, K., 1965, Maximum likelihood estimate of  $b$  in the formula  $\log N=a-bM$  and its confidence limits, *Bull. Earthq. Res. Inst.*, **43**, 237-239.  
 EVISON, F., 1981, Multiple earthquake events at moderate-to-large magnitudes in Japan, *Journ. Phys. Earth*, **29**, 327-339.

- GUTENBERG, B., and C. F. RICHTER, 1944, Frequency of earthquakes in California, *Bull. Seis. Soc. Amer.*, **34**, 185-188.
- 池田 央, 1971, 統計調査のコンピュータ解析, 東洋経済新報社, 389 pp.
- 神沼克伊・茅野一郎・窪田 将, 1975, 1964年12月~1965年2月の伊豆大島付近の群発地震, 火山 II, **20**, 37-47.
- 松沢武雄, 1950, 地震学, 角川書店, 374 pp.
- MOGI, K., 1967, Regional variation of aftershock activity, *Bull. Earthq. Res. Inst.*, **45**, 711-726.
- 岡田 弘・渡辺秀文・山下 済・前川徳光・横山 泉, 1979, 有球火山の群発地震—2ヶ年の活動からその特異性について, 地震学会講演予稿集, No. 2, 40.
- 辻 秀昭・阿部勝征, 1976, 1938年塩屋沖地震のマグニチュードとその付近のサイスマシティ, 地震学会講演予稿集, No. 1, 24.
- UTSU, T., 1961, A statistical study on the occurrence of aftershocks, *Geophys. Magazine*, **30**, 521-605.
- 宇津德治, 1964, 地震の規模別度数の統計式  $\log n = a - bM$  の係数  $b$  を求める一方法, 北海道大学地球物理学研究報告, **13**, 99-103.
- 宇津德治, 1968, 二つの地震群に対する  $b$  値の違いの有意性の検定, 地震 II, **20**, 54-56.
- UTSU, T., 1969, Aftershocks and earthquake statistics (I) —Some parameters which characterize an aftershock sequence and their interrelations—, *Journ. Faculty of Sci., Hokkaido Univ.*, ser. VII, 3, 129-195.
- UTSU, T., 1970, Aftershocks and earthquake sequences (II) —Further investigation of aftershocks and other earthquake sequences based on a new classification of earthquake sequence— *Journ. Fac. Sci., Hokkaido Univ.*, Ser. VII, 3, 197-266.
- UTSU, T., 1974, A three parameter formula for magnitude distribution of earthquakes, *Journ. Phys. Earth*, **22**, 71-85.
- 宇津德治, 1977, 地震学, 共立出版, 286 pp.
- 宇津德治, 1978, 前震と群発地震の識別に関する一調査, 地震 II, **31**, 129-135.
- YAMASHINA, K., 1980, Case study of probability-prediction; The 1980 east off Izu Peninsula earthquake, *Bull. Earthq. Res. Inst.*, **55**, 873-883.

---

16. *A Characteristic of Earthquake Sequences*  
*—An Index for Energy Distribution of Major Earthquakes*  
*Belonging to Earthquake Sequences—*

By Ichiro KAYANO,  
 Earthquakes Research Institute.

The energy distribution of larger shocks of an earthquake group is an important characteristic specifying the group, but it cannot be sufficiently expressed by the widely used coefficient  $b$  of Gutenberg-Richter formula. In order to characterize earthquake groups, a kind of index, relative entropy,  $R$ , for energy distribution of larger shocks belonging to the group, was introduced. This index  $R$  is effective for characterizing quantitatively the type of earthquake groups, ranging from main-shock type to swarm type.

---